

Ю.С. Балин, М.С. Беленький,
И.А. Разенков, Н.В. Сафонова

ПРОСТРАНСТВЕННО ВРЕМЕННАЯ СТРУКТУРА СИГНАЛОВ АЭРОЗОЛЬНОГО ЛИДАРА

Для степенной модели спектра флуктуации концентрации аэрозоля исследовано влияние вариаций скорости ветра и эволюции неоднородностей на взаимные корреляционные функции и взаимные спектры флуктуации мощности лидарных эхо-сигналов. Результаты расчетов сопоставлены с данными измерений. Из экспериментальных данных определена зависимость времени жизни неоднородностей от их размеров.

Исследования пространственно-временной структуры лидарных сигналов непосредственно связаны с изучением динамических процессов формирования аэрозольных полей в атмосфере [1÷4].

В связи с этим актуальность подобных исследований не вызывает сомнения. При обработке пространственно-временных реализаций лидарных сигналов широко используются корреляционные методы [2÷4], с практической точки зрения направленные на реализацию возможности дистанционного измерения параметров скорости ветра. Однако при интерпретации данных оптического зондирования не нашли должного отражения несколько существенных факторов, в частности: степенной характер спектра флуктуации концентрации аэрозоля, временная эволюция аэрозольных неоднородностей, влияние флуктуации скорости ветра.

В настоящей работе предпринята попытка учета этих факторов, в том числе с применением метода спектрального анализа.

Из уравнения лазерной локации [1, 2], предполагая, что вариации мощности эхо-сигнала определяются флуктуациями концентрации частиц, можно показать [5], что пространственно-временная корреляционная функция флуктуации обратно рассеянного излучения имеет вид

$$B_p(\mathbf{r}, \tau) = A \cdot \int d^3r_1 d^3r_2 d^3\mathbf{x} d\omega P(\mathbf{r}_1) P(\mathbf{r}_2 + \mathbf{r}) G_N(\mathbf{x}, \omega) \exp\{i[\mathbf{x}(\mathbf{r}_1 + \mathbf{r}_2) - \omega\tau]\}, \quad (1)$$

где $A = a^2(TL^{-1})^4 \bar{\sigma}^2$; a — постоянная, определяемая параметрами приемопередающей системы лидара; T — прозрачность зондируемого слоя; L — длина трассы; $\bar{\sigma}$ — усредненное по распределению частиц по размерам сечение обратного рассеяния; $P(\mathbf{r})$ — фильтрующая функция, определяющая размеры объема; \mathbf{r} — разнос между центрами объемов; $G_N(\mathbf{x}, \omega) = \Phi_N(\mathbf{x})V(\omega, \mathbf{x})$, $\Phi_N(\mathbf{x})$ — пространственный спектр флуктуации концентрации, функция $V(\omega, \mathbf{x})$ в случае «замороженных» аэрозольных неоднородностей равна $V(\omega, \mathbf{x}) = \delta(\omega + \mathbf{x}\mathbf{V})$, \mathbf{V} — скорость ветра, τ — временное запаздывание.

Используя для спектра $\Phi_N(\mathbf{x})$ степенную зависимость вида [5]

$$\Phi_N(\mathbf{x}) = 0,033C_N^2 \kappa^{-11/3} [1 - l^{-x^2 \kappa_0^2}], \quad (2)$$

где $\kappa_0 = 2\pi/L_0$, L_0 — внешний масштаб турбулентности, для замороженной среды и изотропного рассеивающего объема ($P(\mathbf{r}) = (2\pi a_V)^{-3/2} \exp(-r^2/2a_V^2)$, a_V — размер объема) в предположении, что компоненты скорости ветра распределены по нормальному закону со средним значением $\langle \mathbf{V} \rangle$ и одинаковыми дисперсиями σ_V^2 , для взаимной корреляционной функции (ВКФ) можно получить выражение:

$$B_p(r, \tau) = B \left\{ \left(a_V^2 + \kappa_0^{-2} + \frac{1}{2} \sigma_V^2 \tau^2 \right)^{1/3} {}_1F_1 \left(-\frac{1}{3}; \frac{3}{2}; -\frac{(r - \langle \mathbf{V} \rangle \tau)^2}{4 \left(a_V^2 + \kappa_0^{-2} + \frac{1}{2} \sigma_V^2 \tau^2 \right)} \right) - \left(a_V^2 + \frac{1}{2} \sigma_V^2 \tau^2 \right)^{1/3} {}_1F_1 \left(-\frac{1}{3}; \frac{3}{2}; -\frac{(r - \langle \mathbf{V} \rangle \tau)^2}{4 \left(a_V^2 + \frac{1}{2} \sigma_V^2 \tau^2 \right)} \right) \right\}, \quad (3)$$

где $B = AC_N^2 6\pi\Gamma(2/3)$, ${}_1F_1(a; b; x)$ — вырожденная гипергеометрическая функция.

Согласно (3), при $\sigma_V \tau \geq a_V$, κ_0^{-1} флуктуации скорости ветра заметно влияют на положение максимума и характерные масштабы ВКФ, в частности, как отмечалось в [6], сдвигают максимум ВКФ в

область меньших значений τ , уменьшают временной автокорреляционный масштаб τ_0 по сравнению с масштабом $\sqrt{2}\kappa_0^{-1}/\langle V \rangle$ однородного ($\sigma_V^2 = 0$) движения, вызывают уширение ВКФ по сравнению с автокорреляционной функцией $B_p(0, \tau)$ и снижение максимального уровня корреляции $B_p(\mathbf{r}, r/\langle V \rangle)$, и, наконец, приводят к появлению положительной кросс-корреляционной асимметрии.

Найденные из (3) выражения для сдвига максимума ВКФ τ_m , для временного автокорреляционного и взаимно-корреляционного масштабов τ_0 и τ_1 а также для производной ВКФ (при $\tau = 0$)

$S_0 = \left. \frac{\partial B(\mathbf{r}, \tau)}{\partial \tau} \right|_{\tau=0}$ имеют вид:

$$\tau_m = \frac{r \cos \varphi}{V_k}, \quad V_k = \langle V \rangle + 3 \frac{\sigma_V^2}{\langle V \rangle}; \quad (4)$$

$$\tau_0^2 = 2 \frac{\kappa_0^{-2}}{V_k^2} \text{ при } \kappa_0^{-1} \gg a_V; \quad (5)$$

$$\tau_1^2 = \tau_0^2 + \frac{\sigma_V^2 r^2}{\langle V \rangle^4}; \quad (6)$$

$$S_0 = \frac{1}{9} \frac{r \langle V \rangle}{[(a_V^2 + \kappa_0^{-2})^{1/3} - a_V^{2/3}]} \varphi_2(a_V, \kappa_0, r), \quad (7)$$

где V_k – кажущаяся скорость; φ – угол между направлением средней скорости ветра и разномом \mathbf{r} ,

$$\varphi_2(a_V, \kappa_0, r) = a_V^{-4/3} {}_1F_1\left(\frac{2}{3}, \frac{5}{2}; -\frac{r^2}{4a_V^2}\right) - (a_V^2 + \kappa_0^{-2})^{-2/3} {}_1F_1\left(\frac{2}{3}, \frac{5}{2}; -\frac{r^2}{4(a_V^2 + \kappa_0^{-2})}\right).$$

Сдвиг максимума ВКФ, согласно (4), определяется величинами \mathbf{r} , \mathbf{V}_k и φ . При измерении ВКФ в двух взаимно-перпендикулярных направлениях (φ и $\varphi' = \varphi + \pi/2$) угол φ можно найти из соотношения $\operatorname{tg} \varphi = \tau'_m / \tau_m$. Дисперсия σ_V^2 определяется из измерений масштабов τ_1 и τ_2 при двух базах \mathbf{r}_1 и \mathbf{r}_2 :

$$\sigma_V^2 = \frac{(\tau_1^2 - \tau_2^2)}{(r_1^2 - r_2^2)} \langle V \rangle^4.$$

Пространственный автокорреляционный масштаб равен $l^2 = 2\kappa_0^{-2}$ при $\kappa_0^{-1} \gg a_V$ и $l_0^2 = 2a_V^2$ при $a_V \gg \kappa_0^{-1}$. Связь пространственных и временных масштабов дается формулой $l_i = V_k \tau_i$, $i = 0, 1$. Особенность производной S_0 заключается в том, что величина S_0 не зависит от дисперсии σ_V^2 .

Помимо флуктуации скорости ветра на вариации мощности лидарного сигнала может влиять вызванная турбулентной диффузией временная эволюция аэрозольных неоднородностей. Используя предложенную в [7] феноменологическую модель, рассмотрим влияние эволюции на ВКФ. Согласно [7], масштаб t_1 , определяющий время эволюции неоднородностей с характерным размером κ , для пассивной примеси» в инерционном интервале волновых чисел $\kappa_0 < \kappa < \eta_k^{-1}$ η_k – колмогоровский масштаб длины, определяется выражением

$$t_1 = \mu_T \varepsilon^{-1/3} \kappa^{-2/3}, \quad (8)$$

где ε – скорость диссипации кинетической энергии, отнесенной к единице массы; μ_T – константа, характеризующая турбулентную диффузию. Согласно [7] $V(\omega, \kappa)$ является острой функцией своего аргумента и ее можно аппроксимировать формулой

$$V(\omega + \kappa V) = (2\pi)^{-1/2} t_1 \exp[-t_1^2 (\omega + \kappa V)^2 / 2].$$

Тогда в предположении $\langle V \rangle \parallel \mathbf{r}$, в случае однородного движения ($\sigma_V^2 = 0$), для $B_p(\mathbf{r}, \tau_m)$, $\tau_m = r/V$, нетрудно получить выражение

$$\frac{B_p(\mathbf{r}, \tau_m)}{B_p(0)} = \left[(a_V^2 + \kappa_0^{-2})^{1/3} {}_2F_1\left(-\frac{1}{3}, \frac{3}{2}; \frac{5}{2}; -\frac{r^2 \tau_m^2}{2(a_V^2 + \kappa_0^{-2}) t_1^2}\right) - \dots \right] \quad (9)$$

$$-a_V^{2/3} F_1\left(-\frac{1}{3}, \frac{3}{2}; \frac{5}{2}; -\frac{r^2 \tau_m^2}{2a_V^2 t_1^2}\right) \left[(a_V^3 + \tau_0^{-2})^{1/3} - a_V^{2/3} \right]^{-1},$$

где ${}_2F_1(a, b; c; x)$ — гипергеометрическая функция Гаусса.

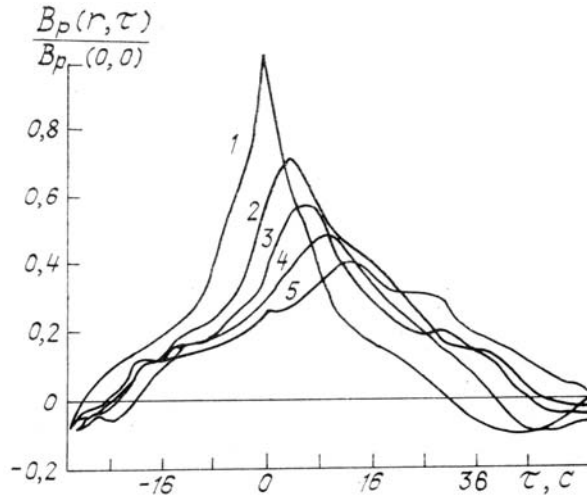


Рис. 1. Пространственно-временные корреляционные функции лидарных сигналов: кривая 1— $r = 0$, 2— $r = 10$ м, 3— $r = 30$ м, 4— $r = 40$ м, 5— $r = 50$ м

В соответствии с (9), убывание функции $B_p(r, \tau_m)$ с ростом базы r зависит от времени жизни неоднородностей t_1 . В отсутствие флуктуации скорости ($\sigma_V = 0$) и эволюции неоднородностей ($t_1 = \infty$) $B_p(r, \tau_m)/B_p(0) = 1$. Оба процесса приводят к снижению уровня корреляции. Считая эти процессы независимыми, определим функциональную зависимость $t_1 = t_1(r)$ по экспериментальным данным.

В качестве примера на рис. 1 приведены измеренные с помощью автоматизированного аэрозольного лидара «ЛОЗА-4» функции $B_p(r, \tau)/B_p(0)$. Зондирование осуществлялось вдоль направления средней скорости ветра при $\langle V \rangle = 3$ м/с, на высоте $z = 10$ м. Методики измерений, способы статистической обработки экспериментальных данных и характеристики лидара приведены в [5, 8]. Для определения t_1 применялась следующая процедура. По измерениям τ_0 и V_k определяли внешний масштаб L_0 , оценку отношения $\sigma_V/\langle V \rangle$ получали из измерений τ_1^2 и τ_2^2 , а также измерений спектра когерентности по методике, описанной ниже.

Найденные значения L_0 , $\langle V \rangle$ и $\sigma_V/\langle V \rangle$ для данных, приведенных на рис. 1, оказались равны $L_0 = 80$ м, $\langle V \rangle = 3$ м/с, $\sigma_V/\langle V \rangle = 0,3$. Далее, по формуле (3) при значениях L_0 , a_V и $\sigma_V/\langle V \rangle$, соответствующих условиям эксперимента, производилась оценка влияния σ_V на ВКФ и осуществлялась коррекция экспериментальных данных к условиям однородного движения ($\sigma_V=0$). Затем по совпадению с откорректированными экспериментальными значениями $B_p(r, \tau_m)$, рассчитанными при разных значениях t_1 максимальных уровней коррекции $B_p(r, \tau_m)$, определялся параметр t_1 .

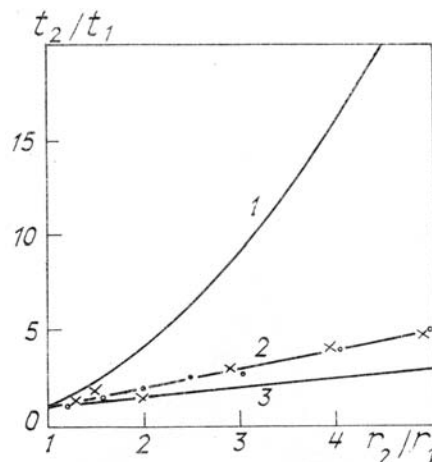


Рис. 2. Зависимость характерного времени жизни неоднородностей от разности r : кривые 1÷3 — теоретические модели; 1— $t \sim r^2$; 2— $t \sim r$; 3— $t \sim r^3$, ooo, xxx — экспериментальные данные, соответствующие данным, представленным на рис. 1

На рис. 2 приведена зависимость величины t_2/t_1 от отношения соответствующих баз r_2/r_1 . Абсолютные значения t_1 для данных, изображенных на рис. 1, изменяются в пределах $8,5 \leq t_1 \leq 43$ с при $10 \text{ м} \leq r \leq 50 \text{ м}$. Здесь же изображены кривые, соответствующие модели (8) и модели, применявшейся в [4]: $t_1 \sim r^2$. Из рисунка видно, что экспериментальные данные следуют закону $t_1 \sim r$, и лучше согласуются с моделью (8).

Другой способ обработки лидарных сигналов основан на использовании методов когерентного анализа [9, 10]. Взаимный спектр флуктуации лидарных сигналов, $W(\mathbf{r}, f)$, спектр когерентности $\gamma(\mathbf{r}, f)$ и фазовый спектр $\theta(\mathbf{r}, f)$ определяются следующими соотношениями:

$$W(\mathbf{r}, f) = \frac{1}{2\pi} \int_{-\infty}^{\infty} B_p(\mathbf{r}, \tau) \exp(-i2\pi f\tau) d\tau,$$

$$\gamma(\mathbf{r}, f) = |W(\mathbf{r}, f)| / |W(0, f)|,$$

$$\theta(\mathbf{r}, f) = \arctg \frac{\text{Im } W_p(\mathbf{r}, f)}{\text{Re } W_p(\mathbf{r}, f)}.$$

В отсутствие флуктуации скорости ветра и эволюции неоднородностей ($\sigma_V = 0$, $t_1 = \infty$), при $r \ll \langle V \rangle$ взаимный спектр имеет вид

$$W_p(r, f) = W_p(0, f) \exp\left(-i \frac{2\pi r f}{\langle V \rangle}\right),$$

где $W_p(0, f)$ – автоспектр, рассмотренный в [5]. Отсюда имеем

$$\gamma(\mathbf{r}, f) = 1, \quad \theta(\mathbf{r}, f) = \frac{2\pi r f}{\langle V \rangle}. \quad (10)$$

Если векторы \mathbf{r} и $\langle V \rangle$ непараллельны ($r_{\parallel} = r \cos \varphi$, $r_{\perp} = r \sin \varphi$), то при $r_{\perp} \gg a_v$ и $\kappa_0^{-1} \gg a_v$

$$\gamma(r, f) = [r_{\perp} \kappa_0 \sqrt{1 + f^2/f_0^2}]^{5/6} K_{-5/6}(r_{\perp} \kappa_0 \sqrt{1 + f^2/f_0^2}),$$

$$\theta(r, f) = \frac{2\pi r_{\parallel} f}{\langle V \rangle}, \quad (11)$$

$f_0 = \langle V \rangle / L_0$, $K_{\nu}(x)$ – модифицированная функция Бесселя 3-го рода. При $r_{\perp} \kappa_0 \ll 1$ выполняется соотношение $\gamma(r_{\perp}, 0) \simeq 1$, а при $r_{\perp} \kappa_0 \gg 1$ соотношение $\gamma(r_{\perp} \kappa_0)^{1/3} \exp(-r_{\perp}, 0) \sim (r_{\perp} \kappa_0)$. Таким образом, продольная, по отношению к $\langle V \rangle$ составляющая разности определяет величину фазового спектра лидарного сигнала, а от отношения r_{\perp} / L_0 зависит спектр когерентности на нулевой частоте.

Учет флуктуации скорости ветра при $\sigma_v^2 / V_0^2 \ll 1$ приводит к соотношению:

$$\gamma(\mathbf{r}, f) = \exp\left(-\frac{f^2}{f_{\Phi}^2}\right) \times$$

$$\times \frac{\left[\psi\left(1, \frac{1}{6}; f^2 \left(\frac{1}{f_a^2} + \frac{1}{f_{\Phi}^2}\right)\right) - e^{-f^2/f_0^2} \psi\left(1, \frac{1}{6}; f^2 \left(\frac{1}{f_a^2} + \frac{1}{f_0^2} + \frac{1}{f_{\Phi}^2}\right)\right) \right]}{\left[\psi\left(1, \frac{1}{6}; f^2/f_a^2\right) - e^{-f^2/f_0^2} \psi\left(1, \frac{1}{6}; f^2 \left(\frac{1}{f_a^2} + \frac{1}{f_0^2}\right)\right) \right]}, \quad (12)$$

где $\psi(a, b, x)$ – вырожденная гипергеометрическая функция Трикоми; $f_a = \frac{\langle V \rangle}{2\pi a_v}$, $f_{\Phi} = \frac{1}{\sqrt{2\pi}} \cdot \frac{\langle V \rangle^2}{r \sigma_v}$,

$\psi\left(1, \frac{1}{6}; z\right) = \frac{6}{5} \left[{}_1F_1\left(1, \frac{1}{6}; z\right) - \Gamma\left(\frac{1}{6}\right) z^{5/6} e^z \right]$. При учете эволюции неоднородностей выражение для спектра

когерентности при $\sigma_1 \ll 1$, $\sigma_1 = (2\pi f_1)^{-1}$ совпадает с формулой (12), если в ней f_Φ заменить на $f_s = \frac{1}{\sqrt{2\pi}} \cdot \frac{\langle V \rangle}{r\sigma_1}$. Выражение для $\theta(r, f)$ во всех случаях определяется формулой (10).

Если предположить статистическую независимость флуктуации скорости и эволюции неоднородностей, то учет их совместного влияния, согласно [7], приводит к необходимости перемножения выражений вида (12), учитывающих влияние этих механизмов. Из этого соотношения в области низких частот $f \ll f_\Phi, f_0, f_a$ следует формула

$$\frac{\sigma_V^2}{\langle V \rangle^2} = \frac{\gamma^2(r, f_1) - \gamma^2(r, f_2)}{f_1^2 - f_2^2} \left(\frac{\langle V \rangle}{2\pi r} \right)^2 - \sigma_1^2. \quad (13)$$

Формула (13) позволяет определять дисперсию флуктуации скорости ветра из измерений взаимных спектров лидарных сигналов. Измерения спектров проводились на слабонаклонной трассе (угол наклона 3°) при базе $r = 10$ м. Направление зондирования совпадало с направлением средней скорости ветра. Величина $\langle V \rangle$ составляла $\langle V \rangle = 3$ м/с. Статистическая обработка проводилась методом БПФ. Для устранения эффектов «просачивания» и низкочастотных трендов использовалось окно $1/10$ косинуса и полиномиальная фильтрация с полиномом четвертой степени [8].

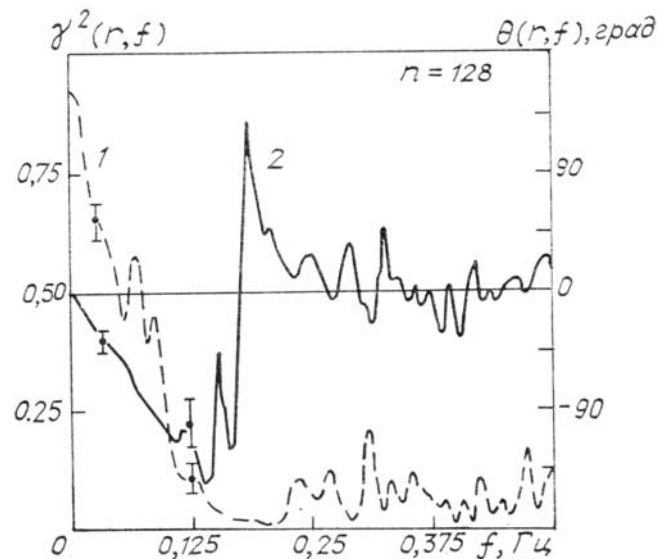


Рис. 3. Экспериментальные спектры когерентности и фазы по данным лидарных измерений: 1 — $\gamma^2(r, f)$; 2 — $\theta(r, f)$

На рис. 3 изображены измеренные спектры когерентности и фазы. Фазовый спектр определялся на интервале от -180 до $+180^\circ$, поскольку направления зондирования и средней скорости ветра могли совпадать либо быть противоположными. Из рисунка видно, что спектр когерентности убывает до нуля на частоте $f \geq 0,125$ Гц, в то же время фазовый спектр следует линейному закону (10) в более широком интервале $0 \leq f \leq 0,25$ Гц. Это подтверждает следующий из формулы (10) вывод о том, что фазовый спектр более устойчив к влиянию флуктуации скорости ветра и эволюции неоднородностей, чем спектр когерентности. Приведенные на рисунке величины доверительных интервалов соответствуют числу степеней свободы $n = 128$.

Из-за частичной коррелированности спектральных оценок для пар временных реализаций на трассе реальное число степеней свободы n было меньше приведенной теоретической оценки. Более подробно процедура обработки описана в [5].

Сравнение теоретических и экспериментальных спектров когерентности $\gamma^2(r, f)$ представлено на рис. 4. Приведенные здесь теоретические кривые рассчитаны по формулам (12) и описывают убывание функции когерентности за счет влияния флуктуаций скорости ветра и эволюции неоднородностей при разных значениях f и r . Удовлетворительное совпадение теоретических кривых с экспериментальными значениями подтверждает справедливость использованных при выводе соотношения (12) представлений о механизмах разрушения когерентности лидарных сигналов в атмосфере.

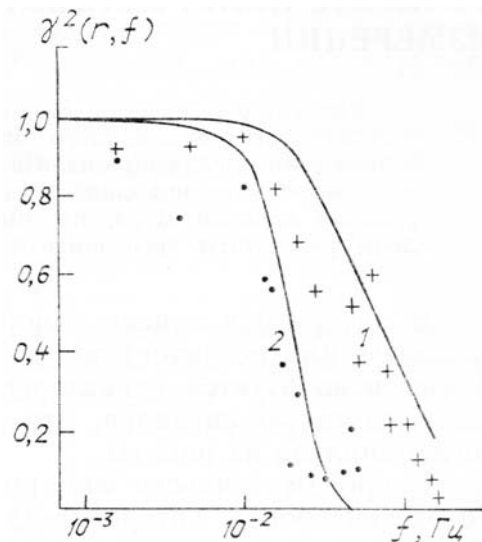


Рис. 4. Сравнение теоретических и экспериментальных спектров когерентности: кривые 1, 2—теоретический расчет; 1— $r = 10$ м, 2— $r = 30$ м; ++, ... — экспериментальные данные (+++— $r = 10$ м, ...— $r = 30$ м)

Таким образом, проведенные исследования позволяют сделать вывод о том, что поведение функций корреляции и когерентности существенно зависит от постоянно присутствующих в атмосфере флуктуаций скорости ветра и эволюции неоднородностей. В то же время фазовый спектр более устойчив к воздействию этих искажающих факторов, что дает возможность эту характеристику считать основной для лидарных измерений скорости ветра в атмосфере.

1. Зуев В. Е. Лазер-метеоролог. М.: Сов, радио. 1974. 178 с.
2. Захаров В. М., Костко О. К. Метеорологическая лазерная локация. Л.: Гидрометеоиздат. 1977. 222 с.
3. Применение корреляционных методов в атмосферной оптике/В.М. Орлов, Г.Г. Матвиенко, И.В. Самохвалов и др. Новосибирск: Наука. 1983. 159 с.
4. Корреляционные методы лазерно-локационных измерений скорости ветра./ Г.Г. Матвиенко, Г.О. Задде, Э.С. Фердинандов и др. Новосибирск: Наука. 1985. 221 с.
5. Балин Ю. С., Беленький М. С., Самохвалов И. В. и др. //Изв. АН СССР. ФАО, 1986. Т. 22. № 10. С. 1060—1063.
6. Лотова Н. А., Чашей И. В. //Труды ФИАН. 1977. Т. 93. С. 78—118.
7. Гурвич А. С. //Изв. АН СССР. ФАО. 1980. Т. 16. № 4. С. 345—354.
8. Балин Ю. С., Байрашин Г. С., Бурков В. В. и др. //В сб.: Проблемно-ориентированные измерительно-вычислительные комплексы. Новосибирск: Наука. 1986. С. 65—71.
9. Бендат Дж., Пирсол А. Измерения и анализ случайных процессов. М.: Мир. 1974. 384 с.
10. Азизян Г. В., Гурвич А. С., Холмянский М. З. //Изв. АН СССР. ФАО. 1980. Т. 16. № 3. С. 236—243.

Институт оптики атмосферы
СО АН СССР, Томск

Поступила в редакцию
6 июня 1988 г.

Yu. S. Balin, M. S. Belen'kii, I. A. Rasenkov, N. V. Safonova. **Space-Time Structure of Aerosol Lidar Signals.**

The effect of the wind velocity variations and the inhomogeneity evolution on the cross-correlation functions and the returned power fluctuation spectra was examined in the context of a power model of the aerosol concentration fluctuation spectra.

The calculation data were compared with lidar observations. The inhomogeneity lifetime related to the size was derived from the experimental measurements.